

SYMBOLICKÝ POČET MATLABU PŘI VÝPOČTU CHARAKTERISTICKÉHO A ACYKLICKÉHO POLYNOMU GRAFU.

Seibert J., Slabý A., Trojovský P.

Univerzita Hradec Králové

Abstrakt:

Existuje řada polynomů, které jsou svázány s grafy a jejich teorií. Tyto polynomy jsou užitečné v teorii grafů i jejich aplikacích, protože umožňují určovat vlastnosti grafů a vztahů mezi grafy pomocí algebraických metod. Ve svém příspěvku budeme ilustrovat použití symbolického počtu Matlabu při výpočtu charakteristického a acyklického polynomu různých typů grafů.

V teorii grafů je definována řada polynomů, z nichž každý určitým způsobem charakterizuje strukturu grafu. Některé z těchto polynomů byly zavedeny na základě zkoumání speciálních objektů, nejčastěji v různých fyzikálních a chemických oborech. Zřejmě nejvýstižněji popisuje strukturu grafu G jeho matice sousednosti označovaná A či $A(G)$.

Charakteristický polynom grafu G, který označíme $P(G,x)$ je pak definován jako charakteristický polynom jeho matice sousednosti, tj. je definován vztahem $P(G,x)=\det(xI-A)$, kde I je jednotková matice stejněho stupně jako matice A. Kořeny charakteristického polynomu se nazývají vlastní čísla a tvoří tzv. spektrum grafu G. Vzhledem k tomu, že pro grafy s větším počtem uzlů je výpočet charakteristického polynomu výpočetně složitý, používá se k výpočtu charakteristického polynomu velmi užitečná věta Sachsova:

Je li G neorientovaný graf s n uzly a charakteristickým polynomem

$$P(G,x) = \sum_{j=0}^n a_j x^{n-j}$$

Pak pro každé j takové, že

$$1 \leq j \leq n$$

platí:

$$a_j = \sum_{S_j} (-1)^{c(s)} 2^{r(s)},$$

kde S_j je množina všech Sachsových podgrafů S grafu G, které mají j uzlů $c(s)$ značí množinu komponent S a $r(s)$ je počet kružnic v S.

Acyklický polynom byl zaveden při řešení konkrétních problémů v přírodních vědách. Systematický matematický základ pro acyklický polynom položil v roce 1977 Gutman.

Jeli G graf s n uzly Pak acyklický polynom grafu je definován vztahem:

$$\alpha(G,x) = \sum_{k=0}^{\left[\frac{n}{2}\right]} (-1)^k p(G,k) x^{n-2k}$$

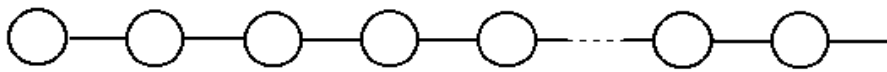
kde $p(G,k)$ je počet podgrafů G, které jsou tvořeny právě k disjunktními komponentami K_2

Uvedené podgrafy grafu G, které jsou kořeny k nezávislých hran se nazývají k párování, číslo $p(G,k)$ pak určuje počet různých k párování daného grafu G a někdy se nazývá k té párovací číslo grafu G. Jestliže počet uzlů grafu G je $n/2$, pak příslušné k párování nazýváme úplné párování grafu G. Jde o lineární faktor grafu G

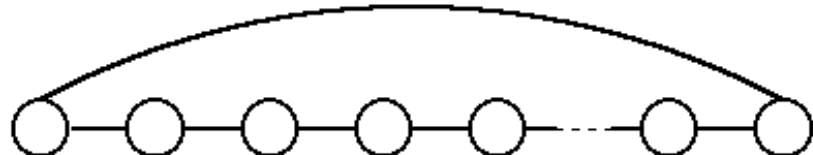
Při formulaci zápisu acyklického polynomu grafu je možno využít Saxovu teorii. Za acyklické Saxovy grafy jsou přitom považovány ty podgrafy grafu G, které jsou tvořeny disjunktními grafy K_2 jako jejich komponentami

Matlab a v tomto případě symbolický počet Matlabu poskytuje obzvláště rychlý a efektivní prostředek pro výpočet a úpravy těchto polynomů. Vzhledem k rozsahu příspěvku není účelné jednotlivé typy grafů, které jsme vybrali pro výpočet jejich acyklických polynomů v tomto

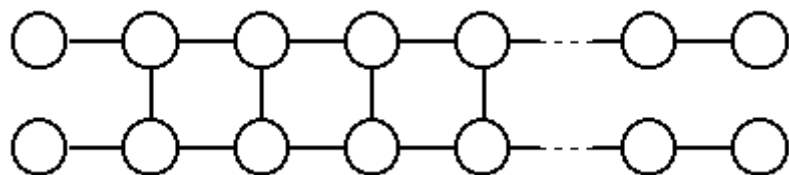
příspěvku, definovat přísně matematicky formálně. Topologii každého typu grafu budeme ilustrovat obrázkem
Had L_n $n>0$ je graf definovaný na obrázku



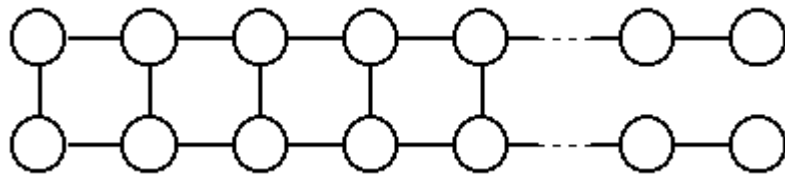
Kružnice C_n $n>2$ je graf definovaný obrázkem



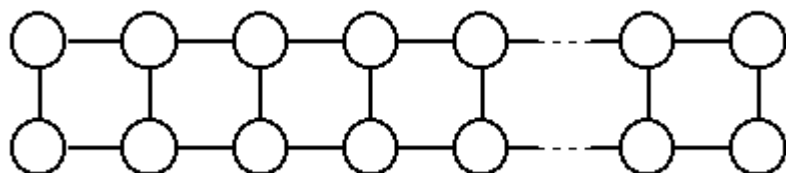
Otevřený žebřík G_n $n>0$ je definován na následujícím obrázku



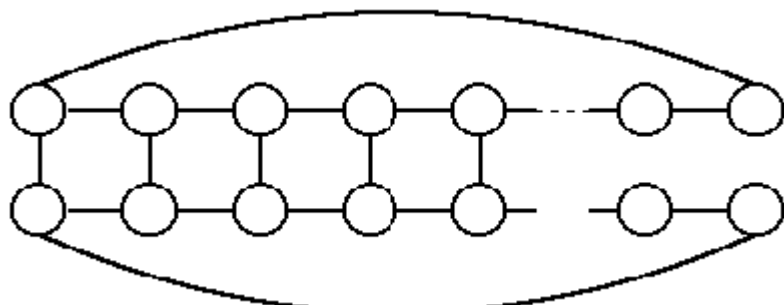
Polouzavřený žebřík $H_{i,j}$, $i>0, j>0$ je definován na následujícím obrázku. Speciálně $H_{i,1}=H_i$



Uzavřený žebřík Z_n $n>0$ je definován na následujícím obrázku



Kolo $M_{i,j}$, $i>0, j>0$ je graf definovaný na následujícím obrázku. Speciálně $M_{n,0}$ $n>2$ označíme M_n



Bez důkazu uvedeme vztahy pro acyklické polynomy těchto vybraných speciálních typů grafů zmíněných v tomto příspěvku
Těchto rekurentních vztahů bylo použito při výpočtu acyklických polynomů.

$$\begin{aligned}
 \beta(L_1) &= x \\
 \beta(L_2) &= x^2 - 1 \\
 \beta(L_n) &= \beta(L_1)\beta(L_{n-1}) - \beta(L_{n-2}), n \geq 3 \\
 \beta(C_n) &= \beta(L_n) - \beta(L_{n-2}), n \geq 3 \\
 \beta(Z_1) &= \beta(L_4) - \beta(L_2) \\
 \beta(Z_n) &= \beta(H_{n-1}) - \beta(Z_{n-1}), n \geq 2 \\
 \beta(G_0) &= \beta^2(L_3) - \beta^4(L_1) \\
 \beta(G_n) &= \beta(H_n) + \beta(H_{n+1}), n \geq 1 \\
 H_i &\equiv H_{i,1} \\
 \beta(H_{1,j}) &= \beta(L_{2(j+2)}) - \beta^2(L_j)\beta(L_2), j \geq 1 \\
 \beta(H_{i+1,j-1}) &= \beta(H_{i,j}) - \beta(Z_i)\beta^2(L_{j-1}), i \geq 1, j \geq 2 \\
 \beta(M_{1,j}) &= \beta^2(C_{j+1}) - \beta^2(L_j), j \geq 2 \\
 \beta(M_{2,j}) &= \beta(M_{1,j+1}) - \beta(L_{2(j+1)}), j \geq 1 \\
 \beta(M_{i+1,j-1}) &= \beta(M_{i,j}) - \beta(H_{i-1,j-1}), i \geq 2, j \geq 2 \\
 \beta(M_n) &= \beta(M_{n-1,1}) - \beta(Z_{n-2}), n \geq 3
 \end{aligned}$$

Uveďme dále výpis zmíněného M filu využívajícího právě uvedených rekurentních vztahů k výpočtu acyklických polynomů pro grafy typu had, kružnice, žebřík a kolo. Korespondence proměnných v M filu použitých při výpočtu a proměnných z předchozích rekurentních vztahů je zřejmá.

```
%Rekurentní výpočet acyklických polynomů pro vybrané typy grafů s využitím
symbolického počtu Matlabu
%Proměnná POČET udává počet odvozených polynomů
POCET=10
%Výpočet polynomů pro grafy typu had (jsou v proměnných betaL, BetaL)
%Výpočet polynomů pro grafy typu kružnice (jsou v proměnných betaC, BetaC)
c1=[1 0];
c2=[1 0 -1];
betaL(1)=poly2sym(c1);
BetaL(1)=betaL(1);
betaL(2)=poly2sym(c2);
BetaL(2)=betaL(2);
for n=3:2*POCET+4
    betaL(n)=betaL(1)*betaL(n-1)-betaL(n-2);
    betaC(n)=betaL(n)-betaL(n-2);
    BetaL(n)=collect(betaL(n));
    BetaC(n)=collect(betaC(n));
end
%Výpočet polynomů pro grafy typu zavřený žebřík (jsou v proměnných betaZ,BetaZ)
%Výpočet polynomů pro grafy typu otevřený žebřík ( jsou v proměnných betaG,BetaG)
```

```

%Výpočet polynomů pro grafy typu polootevřený žebřík (jsou v proměnných betaH,BetaH)
%Využívá se polynomů se dvěma parametry betah2(i,j)
betaZ(1)=betaL(4)-betaL(2);
for j=1:POCET
    betaH2(1,j)=betaL(2*(j+2))-betaL(j)^2*betaL(2);
end
for i=1:POCET
    for j=2:POCET
        betaH(i)=betaH2(i,1);
        if (i>1)
            betaZ(i)=betaH(i-1)-betaZ(i-1);
        end
        betaH2(i+1,j-1)=betaH2(i,j)-betaZ(i)*(betaL(j-1))^2;
    end
end
for n=1:POCET-1
    betaG(n)=betaH(n)+betaH(n+1);
end
for n=1:POCET-1
    BetaZ(n)=collect(betaZ(n));
    BetaG(n)=collect(betaG(n));
    BetaH(n)=collect(betaH(n));
end
%Výpočet polynomů pro grafy typu kolo (jsou v proměnných betaM,BetaM)
%Využívá se polynomů se dvěma parametry betaM2(i,j)
for j=2:POCET+1
    betaM2(1,j)=betaC(j+1)*betaC(j+1)-betaL(j)*betaL(j);
end
for j=1:POCET
    betaM2(2,j)=betaM2(1,j+1)-betaL(2*(j+1));
end
for i=2:POCET
    for j=2:POCET
        betaM2(i+1,j-1)=betaM2(i,j)-betaH2(i-1,j-1);
    end
end
for n=3:POCET
    betaM(n)=betaM2(n-1,1)+betaZ(n-2);
end

```

Výstupy software prvních deseti acyklických polynomů pro zmíněné typy grafů uvádíme v závěru příspěvku. Tyto vztahy předpokládají mj výpočty a úpravu 24 polynomů prografy typu had a kružnice a dalších polynomů odpovídajících speciálním grafům zmíněných tříd. Tvary polynomů jsou uloženy vždy ve dvou proměnných. Z nich uvádíme pouze proměnné, jejichž identifikátor začíná velkým písmenem a které představují upravené hodnoty polynomů (sloučením koeficientů u stejných mocnin)s využitím funkce collect.

Výpis acyklických polynomů pro prvních x grafů typu had udává proměnná BetaL:

```

BetaL =[  

x,  

x^2-1,  

x^3-2*x,  

x^4-3*x^2+1,

```

$x^{5-4}x^{3+3}x$,
 $x^{6-5}x^{4+6}x^{2-1}$,
 $x^{7-6}x^{5+10}x^{3-4}x$,
 $x^{8-7}x^{6+15}x^{4-10}x^{2+1}$,
 $x^{9-8}x^{7+21}x^{5-20}x^{3+5}x$,
 $x^{10-9}x^{8+28}x^{6-35}x^{4+15}x^{2-1}$,

Výpis acyklických polynomů pro prvních x grafů typu kružnice udává proměnná BetaC:

(grafy třídy krunice jsou def pro tři a více uzlů)

BetaC =[

0,0,
 $x^{3-3}x$,
 $x^{4-4}x^{2+2}$,
 $x^{5-5}x^{3+5}x$,
 $x^{6-6}x^{4+9}x^{2-2}$,
 $x^{7-7}x^{5+14}x^{3-7}x$,
 $x^{8-8}x^{6+20}x^{4-16}x^{2+2}$,
 $x^{9-9}x^{7+27}x^{5-30}x^{3+9}x$,
 $x^{10-10}x^{8+35}x^{6-50}x^{4+25}x^{2-2}$,

Výpis acyklických polynomů pro prvních 10 grafů typu uzavřený žebřík udává proměnná

BetaZ:

BetaZ =[

$x^{4-4}x^{2+2}$,
 $x^{6-7}x^{4+11}x^{2-3}$,
 $x^{8-10}x^{6+29}x^{4-26}x^{2+5}$,
 $x^{10-13}x^{8+56}x^{6-94}x^{4+56}x^{2-8}$,
 $x^{12-16}x^{10+92}x^{8-234}x^{6+263}x^{4-114}x^{2+13}$,
 $x^{14-19}x^{12+137}x^{10-473}x^{8+815}x^{6-667}x^{4+223}x^{2-21}$,
 $x^{16-22}x^{14+191}x^{12-838}x^{10+1982}x^{8-2504}x^{6+1577}x^{4-424}x^{2+34}$,
 $x^{18-25}x^{16+254}x^{14-1356}x^{12+4115}x^{10-7191}x^{8+7018}x^{6-3538}x^{4+789}x^{2-55}$,
 $x^{20-28}x^{18+326}x^{16-2054}x^{14+7646}x^{12-17266}x^{10+23431}x^{8-18336}x^{6+7622}x^{4-1444}x^{2+89}$]

Výpis acyklických polynomů pro prvních 10 grafů typu otevřený žebřík udává proměnná

BetaG:

BetaG =[

$x^{8-8}x^{6+16}x^{4-8}x^{2+1}$,
 $x^{10-11}x^{8+37}x^{6-43}x^{4+15}x^{2-1}$,
 $x^{12-14}x^{10+67}x^{8-132}x^{6+104}x^{4-28}x^{2+2}$,
 $x^{14-17}x^{12+106}x^{10-302}x^{8+403}x^{6-235}x^{4+51}x^{2-3}$,
 $x^{16-20}x^{14+154}x^{12-580}x^{10+1128}x^{8-1108}x^{6+506}x^{4-92}x^{2+5}$,
 $x^{18-23}x^{16+211}x^{14-993}x^{12+2576}x^{10-3700}x^{8+2825}x^{6-1051}x^{4+164}x^{2-8}$,
 $x^{20-26}x^{18+277}x^{16-1568}x^{14+5125}x^{12-9874}x^{10+11031}x^{8-6804}x^{6+2123}x^{4-290}x^{2+13}$,
 $x^{22-29}x^{20+352}x^{18-2332}x^{16+9234}x^{14-22546}x^{12+33899}x^{10-30563}x^{8+15674}x^{6-4194}x^{4+509}x^{2-21}$,
 $x^{24-32}x^{22+436}x^{20-3312}x^{18+15443}x^{16-45928}x^{14+87872}x^{12-106816}x^{10+79904}x^{8-34840}x^{6+8136}x^{4-888}x^{2+34}$]

Výpis acyklických polynomů pro prvních 10 grafů typu polootevřený žebřík udává proměnná BetaH:

BetaH =[
 $x^{6-6}x^{4+7}x^{2-1},$
 $x^{8-9}x^{6+22}x^{4-15}x^{2+2},$
 $x^{10-12}x^{8+46}x^{6-65}x^{4+30}x^{2-3},$
 $x^{12-15}x^{10+79}x^{8-178}x^{6+169}x^{4-58}x^{2+5},$
 $x^{14-18}x^{12+121}x^{10-381}x^{8+581}x^{6-404}x^{4+109}x^{2-8},$
 $x^{16-21}x^{14+172}x^{12-701}x^{10+1509}x^{8-1689}x^{6+910}x^{4-201}x^{2+13},$
 $x^{18-24}x^{16+232}x^{14-1165}x^{12+3277}x^{10-5209}x^{8+4514}x^{6-1961}x^{4+365}x^{2-21},$
 $x^{20-27}x^{18+301}x^{16-1800}x^{14+6290}x^{12-13151}x^{10+16240}x^{8-11318}x^{6+4084}x^{4-655}x^{2+34},$
 $x^{22-30}x^{20+379}x^{18-2633}x^{16+11034}x^{14-28836}x^{12+47050}x^{10-46803}x^{8+26992}x^{6-8278}x^{4+1164}x^{2-55}]$

Výpis acyklických polynomů pro prvních x grafů typu kolo udává proměnná BetaM:

BetaM =[
0,0,
 $x^{6-7}x^{4+10}x^{2},$
 $x^{8-10}x^{6+28}x^{4-22}x^{2+3},$
 $x^{10-13}x^{8+55}x^{6-87}x^{4+43}x^{2-1},$
 $x^{12-16}x^{10+91}x^{8-224}x^{6+232}x^{4-80}x^{2+4},$
 $x^{14-19}x^{12+136}x^{10-460}x^{8+757}x^{6-559}x^{4+143}x^{2-3},$
 $x^{16-22}x^{14+190}x^{12-822}x^{10+1888}x^{8-2250}x^{6+1254}x^{4-250}x^{2+7},$
 $x^{18-25}x^{16+253}x^{14-1337}x^{12+3976}x^{10-6692}x^{8+6089}x^{6-2669}x^{4+430}x^{2-8},$
 $x^{20-28}x^{18+325}x^{16-2032}x^{14+7453}x^{12-16396}x^{10+21263}x^{8-15344}x^{6+5459}x^{4-732}x^{2+15}]$

Rozborem rekurentních vztahů a odpovídajícího M filu zjistíme okamžitě že byla spočítána řada dalších polynomů speciálních grafů a to polynomů grafů, $H_{i,j}$, $M_{i,j}$ a dále abychom mohli spočítat n polynomů typů had či kolo musíme spočítat $2n+4$ polynomů grafů typů had a kružnice. Jde tedy o značné objemy symbolických výpočtů které software neomylně a rychle provádí

Proto jsme m.j. spočítali hodnotu proměnné BetaL(24), což je acyklický polynom pro graf typu had L_{24}

$x^{24-23}x^{22+231}x^{20-1330}x^{18+4845}x^{16-11628}x^{14+18564}x^{12-19448}x^{10+12870}x^{8-5005}x^{6+1001}x^{4-78}x^{2+1}]$

či hodnotu proměnné BetaC(24), což je acyklický polynom pro graf typu kružnice C_{24}
 $x^{24-24}x^{22+252}x^{20-1520}x^{18+5814}x^{16-14688}x^{14+24752}x^{12-27456}x^{10+19305}x^{8-8008}x^{6+1716}x^{4-144}x^{2+2}]$

Literatura:

[1]Farrell E.J.: The matching polynomial and its relation to the acyclic polynomial of a graph. Ars Combinatoria

Vol 9 ,1980, pp. 221-228.

[2]Gutman I.: The acyclic polynomial of a graph Publ Inst Math, 36, 1977,pp63-69

[3]Cvetkovič D. M. Doob M., Sachs. H.;Spectra of graphs, New York, San Francisco, London, Academic press 1980